



INFORMACIÓN PRODUCTO

Spine3D cuenta con un método de escaneo sin marcadores, sin radiación y no invasivo. Permite la visualización 3D de la espalda y ofrece una fiel reproducción de la postura del paciente gracias a la tecnología LiDar (Light Detection and Ranging).

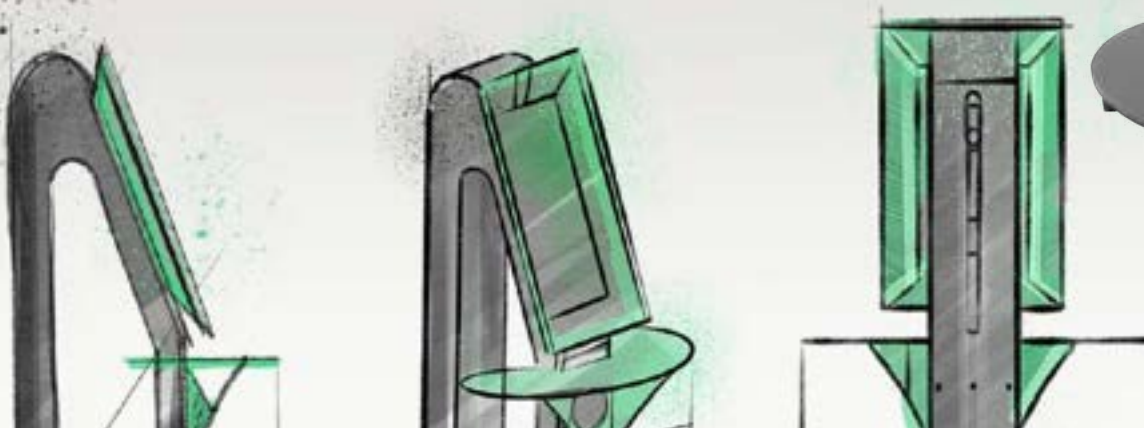
Este dispositivo ofrece varios parámetros análisis, como análisis de postura, análisis de escoliosis y todas las posibles desviaciones de la columna (lateral, frontal y sagital), rotación de las vértebras y posición pélvica.

Características técnicas:

- ♦ Sistema ALL-IN-ONE.
- ♦ Reconstrucción 3D de altísima precisión.
- ♦ Resolución XYZ: 1mm.
- ♦ Pantalla táctil vertical de 27".
- ♦ Cámara ToF de última generación.
- ♦ PC con tarjeta inalámbrica integrada.
- ♦ Torre motorizada con control de joystick.
- ♦ Secciones, planos de corte, planos frontal, sagital y transversal.

Multitud de parámetros de análisis.

- ♦ Desviación y rotación espinal.
- ♦ Flecha cervical y flecha lumbar.
- ♦ Ángulo y profundidad de lordosis y cifosis.
- ♦ Inclinación y diferencia de altura de los hombros y la pelvis.
- ♦ Análisis de la postura.
- ♦ Análisis de la escoliosis.



Exploración **no invasiva.**

Sistema de escaneo sin marcadores, sin radiación y no invasivo. Permite repetir la exploración de los hombros, la espalda y la pelvis del paciente repetidas veces sin riesgo inferiores!

Evalúa también **los miembros inferiores.**

Nueva funcionalidad que permite el escaneo del cuerpo entero para un diagnóstico integral del paciente.

Exámenes **rápidos y sencillos.**

La tecnología de cámaras de alta definición e infrarrojos no se ve afectada por la luz ambiental. Identificación automática de los puntos de referencia, con posibilidad de modificación manual.

Software e interfaz **amigable.**

- ♦ Menús sencillos e intuitivos.
- ♦ Archivo de pacientes completo.
- ♦ Multiusuario con protección de contraseña.
- ♦ Varios idiomas, incluidos los informes automáticos.

Compara otras fuentes de diagnóstico.

Posibilidad de importar y superponer imágenes y radiografías para un mejor diagnóstico.

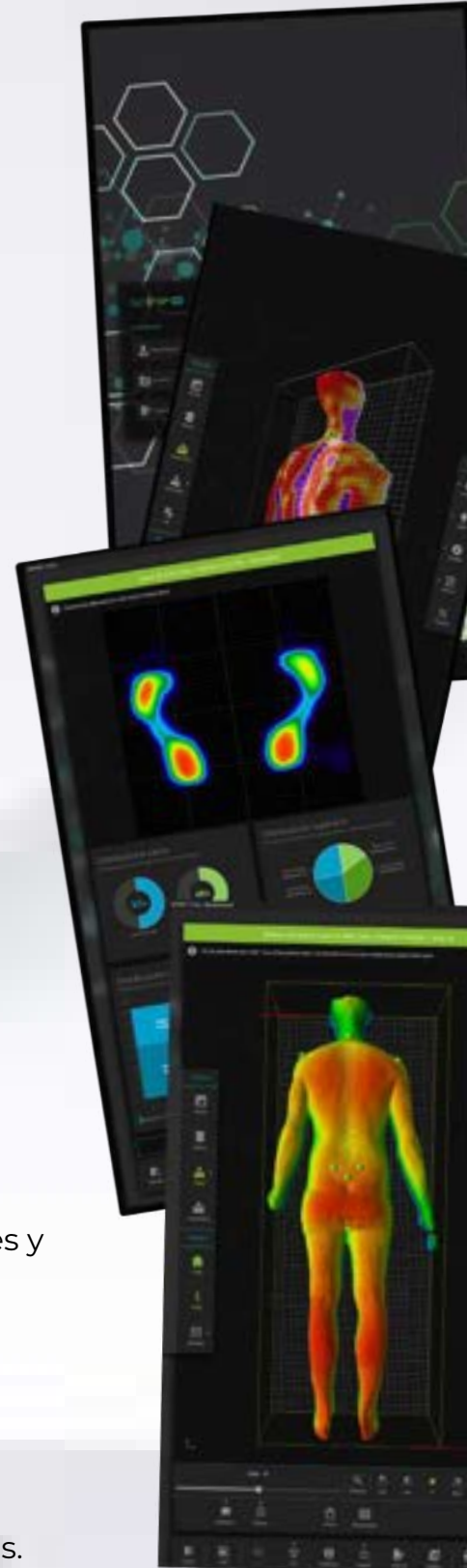
Tecnología de tendencia **basada en IA.**

- ♦ Informes automáticos basados en el rango normal de parámetros.
- ♦ Coincidencia automática de referencias.
- ♦ Cálculos automáticos de ángulos y simetrías.

Informes **automáticos.**

Parámetros clínicos e información completa, con informes automáticos, útiles para el diagnóstico de patologías de columna y problemas posturales.

El sistema sin radiación para el diagnóstico de la columna vertebral más innovador del mercado.





spine 3D

Spine 3D es un innovador sistema de detección optoelectrónica tridimensional no invasiva de la columna vertebral y la columna vertebral que permite evaluar con precisión las patologías vertebrales y los cambios posturales.



CERTIFICAZIONI



Spine 3D™

CARACTERÍSTICAS TÉCNICAS

DATOS FÍSICOS

- Dimensiones: 165x63x76 cm
- Peso: 47 Kg

DATOS ELÉCTRONICOS

- Alimentación: 100-240V, 50/60 Hz

CARACTERÍSTICAS TÉCNICAS

- Estructura de aluminio
- Columna motorizada con joystick
- Pantalla táctil de 27 pulgadas
- Resolución: 1920 X 1080
- Formato: 16:9
- Orientación: vertical
- Escáner 3D
- Tecnología de profundidad: Tiempo de vuelo (ToF)
- Rango operativo de medición: de 1 a 2 mA

SOFTWARE

El análisis se realiza colocando al paciente a 110 cm de la cámara. La adquisición es muy rápida, (menos de 5 segundos) y el paciente debe permanecer en una posición natural con los brazos relajados a los lados. Es necesario que la espalda esté desnuda y que el surco interglúteo sea visible.

Los principales datos que ofrece el software son:

- Longitud, inclinación y desequilibrio de la columna vertebral a lo largo de los planos coronal, sagital y transversal.
- Desviación y rotación vertebral.
- Flecha cervical y lumbar
- Ángulo y profundidad de la lordosis y la cifosis
- Inclinación y desequilibrio de hombros y pelvis



ID Examen 0027 - New exam title

Paciente
Nr2 FullBody
Altura
444 cm

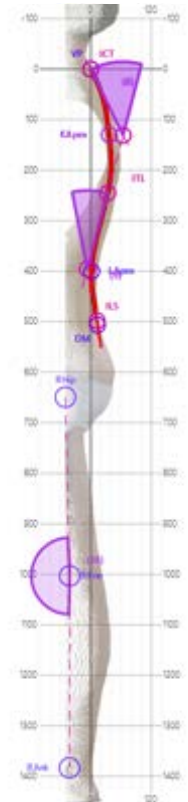
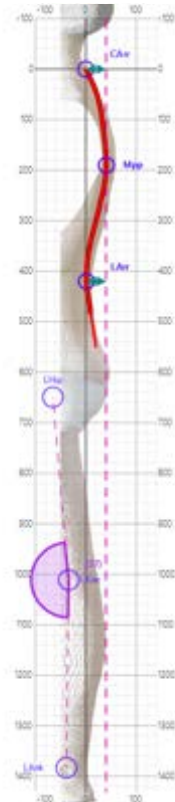
ID del Paciente
0019
Peso
32 kg

Fecha de Nacimiento
21/09/2019
Contactos

Sexo
Masculino
Fecha del examen
21/09/2023



ID	Parameter	Parameter	N.Values
1	*Longitud de la columna VPDM	507 mm	[470 mm, 530 mm]
2	Inclinación de la columna VPDM	1,47 °	[-5,00 °, 5,00 °]
7	*Flecha lumbar LArr	39 mm	[31 mm, 48 mm]
6	*Flecha cervical CArr	40 mm	[47 mm, 60 mm]
37	LB Sagittal left knee angle	-174,34 °	
8	Ángulo cifótico ICT ITL	40,94 °	[41,00 °, 54,00 °]
9	Ángulo lordótico ITL ILS	25,66 °	[26,00 °, 42,00 °]
38	LB Sagittal right knee angle	-178,57 °	



ID Examen 0027 - New exam title

Paciente
Nr2 FullBody
Altura
444 cm

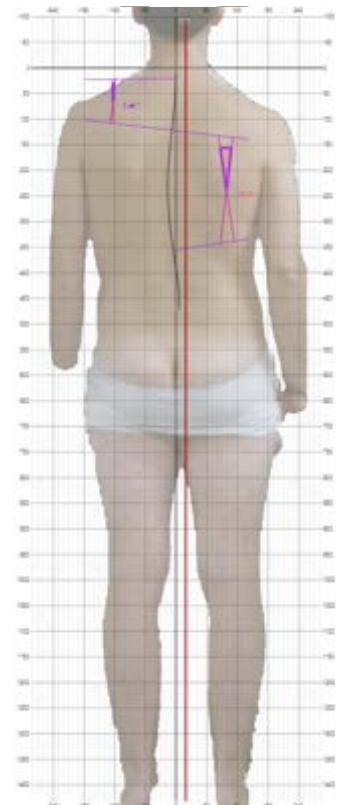
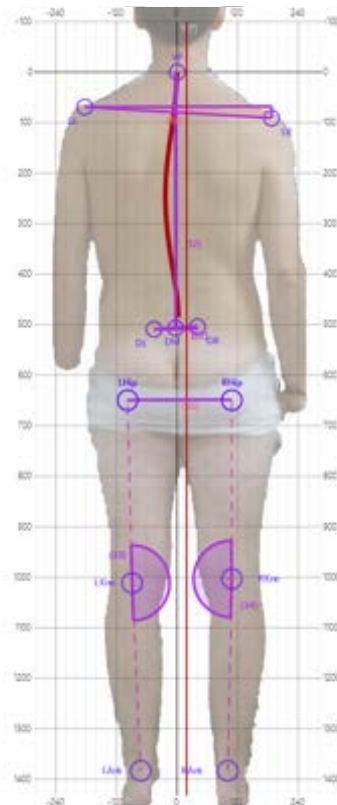
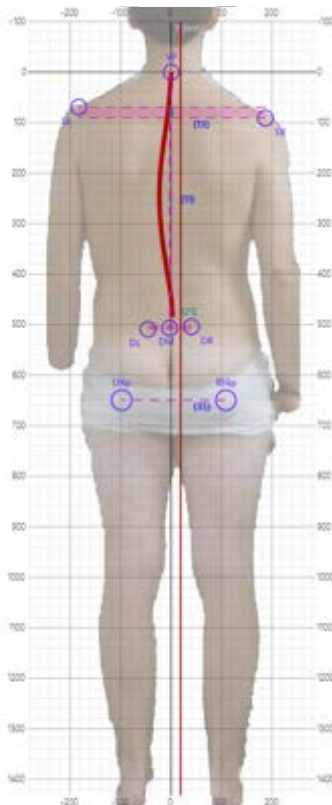
ID del Paciente
0019
Peso
32 kg

Fecha de Nacimiento
21/09/2019
Contactos

Sexo
Masculino
Fecha del examen
21/09/2023



ID	Parameter	Parameter	N.Values
11	*Desequilibrio Coronal VPDM	3 mm	[-7 mm, 7 mm]
13	*Oblicuidad hombros SLSR	-22 mm	[-13 mm, 13 mm]
21	*Oblicuidad pélvica DLDR	5 mm	[-5 mm, 5 mm]
35	*LB Hip obliquity	0 mm	
12	Desequilibrio tronco VPDM	-0,33 °	[-1,00 °, 1,00 °]
14	Inclinación hombros SLSR	-3,40 °	[-2,00 °, 2,00 °]
22	Inclinación pélvica DLDR	3,33 °	[-2,00 °, 2,00 °]
36	LB Hip tilt	0,00 °	
33	LB Coronal left knee angle	-178,81 °	
34	LB Coronal right knee angle	-178,80 °	
27	*Bending angle [T2 - T6] Toracic	7,46 °	[0,00 °, 10,00 °]
27	*Bending angle [T5 - L1] TorsoLumbar	15,22 °	[0,00 °, 10,00 °]



ID Examen 0027 - New exam title

Paciente Nr2 FullBody	ID del Paciente 0019	Fecha de Nacimiento 21/09/2019	Sexo Masculino
Altura 444 cm	Peso 32 kg	Contactos	Fecha del examen 21/09/2023

Reporte

Examen de la columna vertebral del paciente Nr2 FullBody. El paciente tiene 5 años, 175 cm de altura y pesa 70 kg.

Los hombros se ven asimétricos con una inclinación de $-3,40^\circ$ entre los puntos detectados del hombro izquierdo SL y el hombro derecho SR, una oblicuidad de -22 mm y una rotación de $6,33^\circ$ en el eje vertical.

La medición tomada desde la vértebra prominente VP hasta el punto medio entre las fosas sacras DM, detectó una longitud total del tronco de 507 mm, mostrando una inclinación antero-posterior de $1,47^\circ$ y un desbalance dorso-lateral de $-0,33^\circ$. Hay un desbalance coronal neutral de 3 mm.

El ángulo cifótico detectado de $40,94^\circ$ parece ser más pequeño de lo normal, like the lordotic angle of $25,66^\circ$.

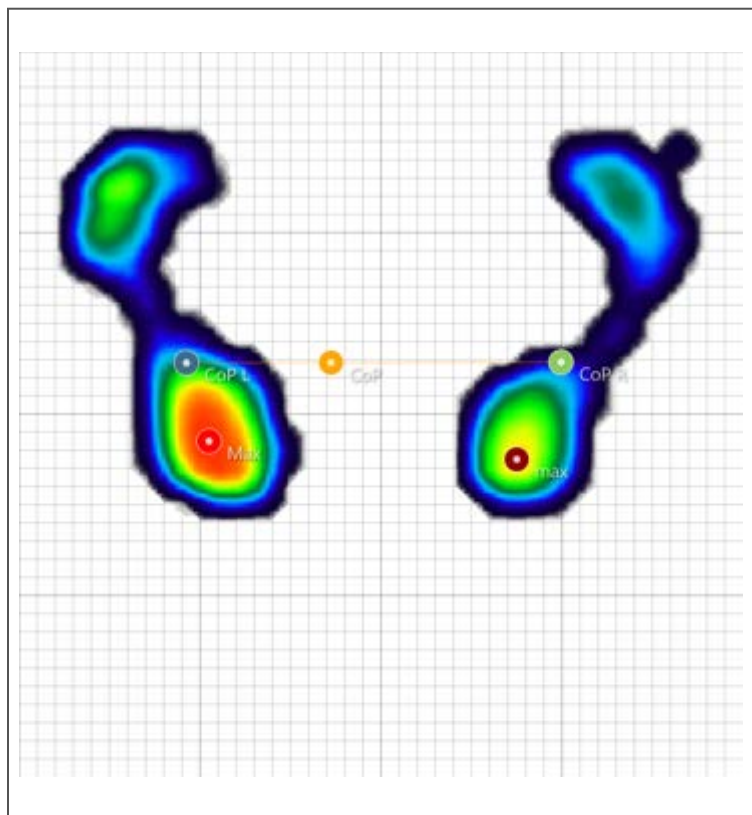
La flecha cervical de 40 mm está por detrás con respecto al rango de parámetros normales, mientras que la flecha lumbar de 39 mm parece normal.

En el área pélvica, las fosas sacras DL y DR parecen tener una oblicuidad natural de 5 mm, con una inclinación de $3,33^\circ$. La rotación pélvica de $5,76^\circ$ es mucho más alta respecto a los parámetros normales.

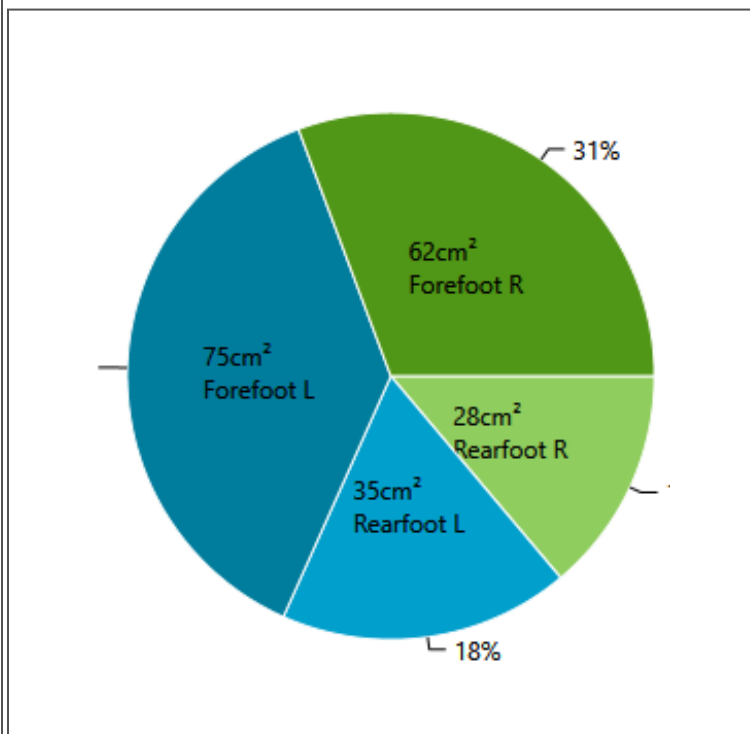
ID Examen 0027 - New exam title

Paciente Nr2 FullBody	ID del Paciente 0019	Fecha de Nacimiento 21/09/2019	Sexo Masculino
Altura 444 cm	Peso 32 kg	Contactos	Fecha del examen 21/09/2023

Reporte

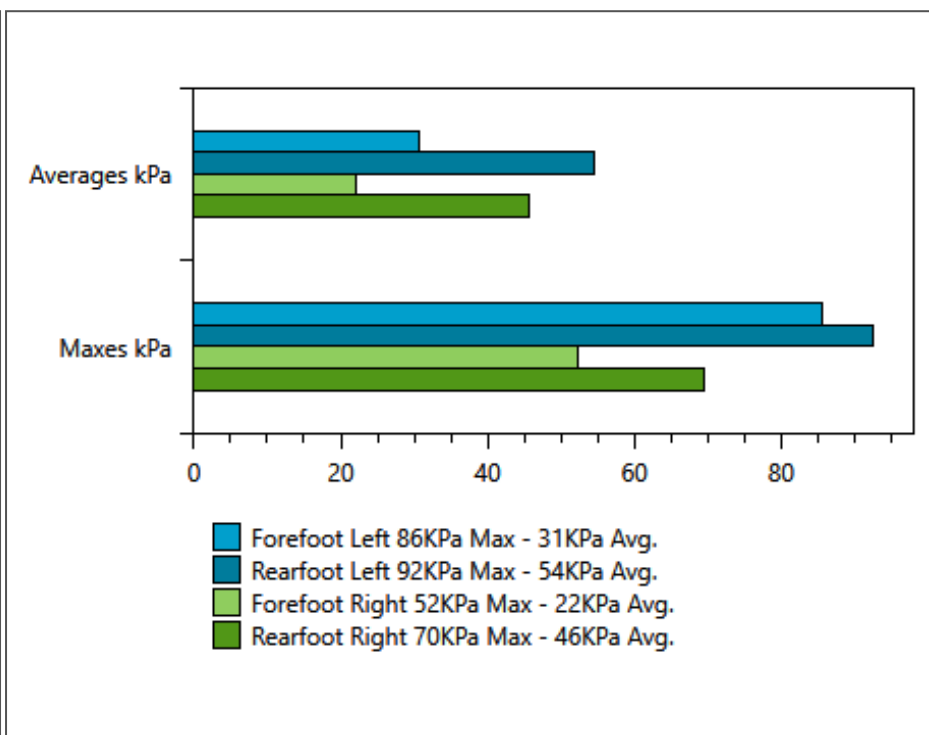
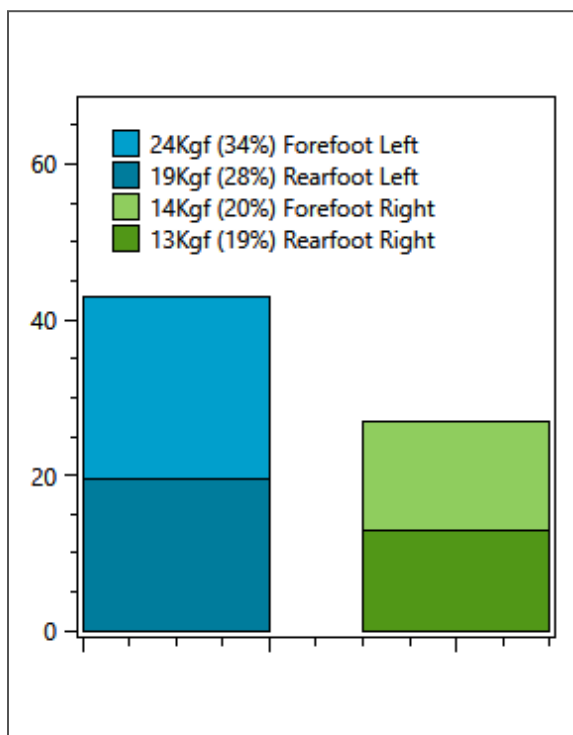


Surface distribution



Load distribution

Average pressure and maximum peeks



ID Examen 0027 - New exam title

Paciente
Nr2 FullBody

ID del Paciente
0019

Fecha de Nacimiento
21/09/2019

Sexo
Masculino

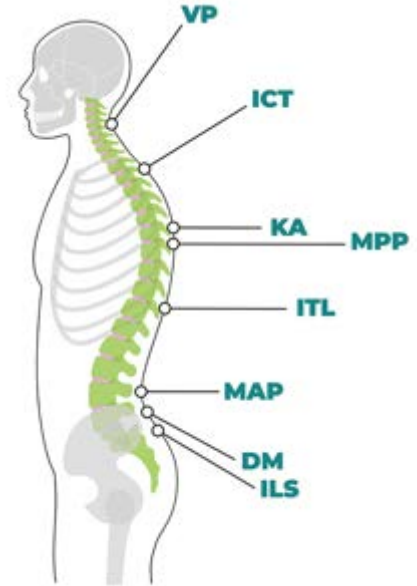
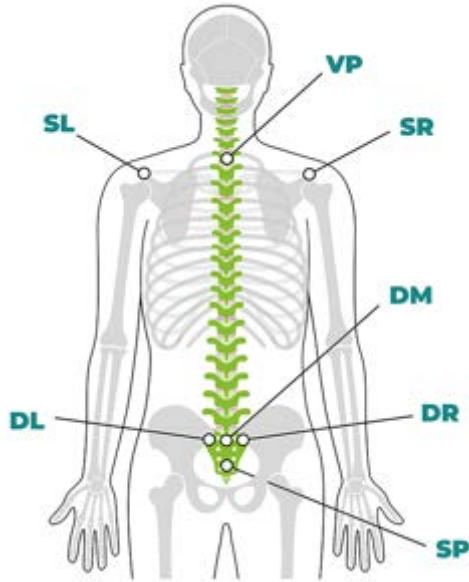
Altura
444 cm

Peso
32 kg

Contactos

Fecha del examen
21/09/2023

Repere



Glossary

VP	Vertebra Prominens	Map	Most anterior point
DL	Left dimple	CLDP	Cervical lordosis depth point
DR	Right dimple	LLDP	Lumbar lordosis depth point
DM	Midpoint between DL and DR	CA	Cervical apex
SP	Sacrum point	LA	Lumbar apex
KApex	Kyphotic apex	CArr	Flèche cervicale
LApex	Lordotic apex	LArr	Flèche lombaire
ICT	Cervicothoracic joint	LAX	Left axilla
ITL	Thoracolumbar joint	RAX	Right Axilla
ILS	Lumbosacral joint	LS	Left Scapula
SL	Left acromion	RS	Right Scapula
SR	Right acromion	LT	Left size triangle
Mpp	Most posterior point	RT	Right size triangle

ID Examen 0027 - New exam title

Paciente
Nr2 FullBody

ID del Paciente
0019

Fecha de Nacimiento
21/09/2019

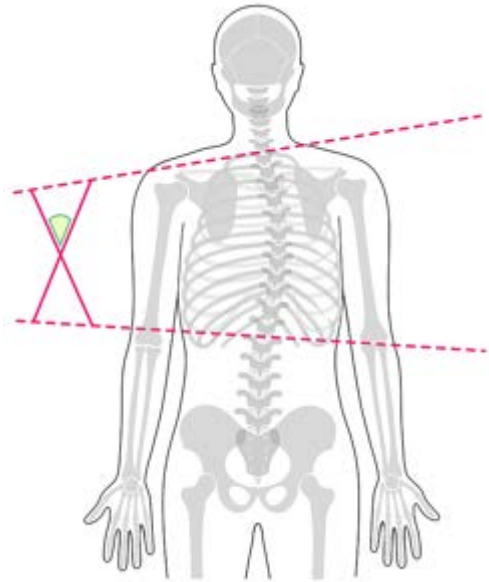
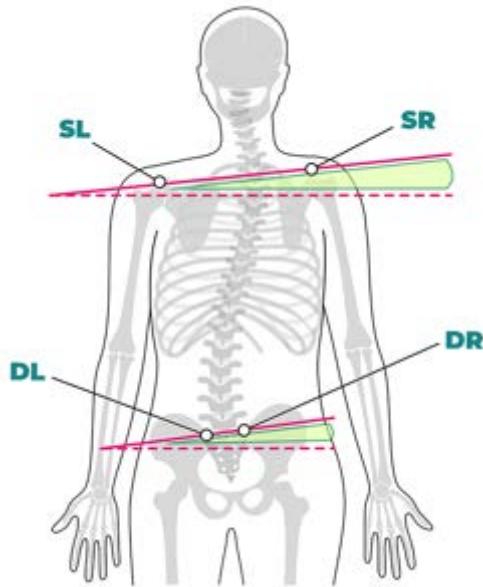
Sexo
Masculino

Altura
444 cm

Peso
32 kg

Contactos

Fecha del examen
21/09/2023



Coronal parameters

Longitud del tronco VPDM	Length of the segment joining VP and DM
Desequilibrio Coronal VPDM	Distance between DM and the vertical passing through VP
Desequilibrio tronco VPDM	The angle between the joining of VP and DM and the vertical axis
Oblicuidad hombros SLSR	Distance between the horizontal axis passing through SL and the horizontal axis passing through SR
Inclinación hombros SLSR	The angle between SL and SR on the coronal plane
Desviación vertebral RMS	In the coronal plane, squared mean of the horizontal lateral deviation of the centres of the vertebral bodies with respect to the VP-DM connection line
Vertebral deviation max left (-)	Convexity to the left
Vertebral deviation max right (+)	Convexity to the right
Superficie de rotación RMS	Squared mean of the angles between the straight line passing through the centre of the vertebra and the apex of the corresponding spinous process, and the perpendicular to the coronal plane
Surface rotation max left (-)	The leftmost angle of the Surface Rotation curve
Surface rotation Max Right (+)	The rightmost angle of the Surface Rotation curve
Oblicuidad pélvica DLDR	Distance between the horizontal axis passing through DL and the horizontal axis passing through DR
Inclinación pélvica DLDR	The angle between DL and DR on the coronal plane
Bending angle	The angle between the two tangents of the upper endplate of the upper vertebra and the lower endplate of the lower vertebra, in a structural curve of the spine
LB Coronal left knee angle	Left knee angle on the coronal plane formed by the LHip-LKnee-LAnk points
LB Coronal right knee angle	Right knee angle on the coronal plane formed by the RHip-RKnee-RAnk points
LB Hip obliquity	Angle between LHip and RHip in the coronal plane

ID Examen 0027 - New exam title

Paciente
Nr2 FullBody

ID del Paciente
0019

Fecha de Nacimiento
21/09/2019

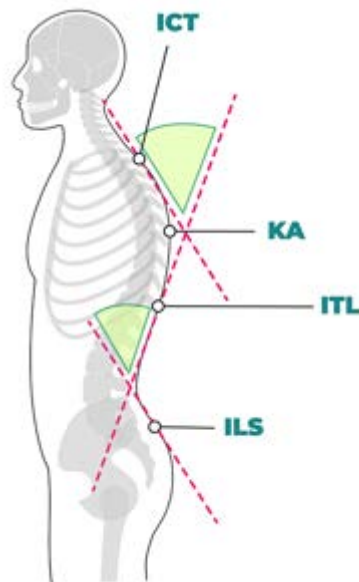
Sexo
Masculino

Altura
444 cm

Peso
32 kg

Contactos

Fecha del examen
21/09/2023



Sagittal parameters

Longitud de la columna VPDM	Length of the segment joining VP and DM
Inclinación de la columna VPDM	Angle between the straight line through VP-DM and the vertical plane
Desequilibrio sagital de VPDM	Horizontal distance, along the sagittal plane, between VP and the vertical passing through DM
Profundidad de lordosis cervical CA- KA	Distance between CA (cervical apex) and the tangent to KA (kyphotic apex) which is parallel to the VPDM line
Lordosis lumbar LA- KA	Distance between LA (lumbar apex) and the tangent to KA (kyphotic apex) which is parallel to the VPDM line
Flecha cervical CArr	Sagittal distance between the lowest point of the cervical spine and the virtual vertical plumb line
Flecha lumbar LArr	Sagittal distance between the lowest point of the lumbar spine and the virtual vertical plumb line
Ángulo cifótico ICT ITL	Upper angle formed by the tangents to the surface in ICT and ITL
Ángulo lordótico ITL ILS	Upper angle formed by the tangents to the surface in ITL and ILS
Trunk tilt angle ITL	The angle of trunk tilt at the thoracolumbar inversion point ITL
Trunk tilt angle ILS	The angle of trunk tilt at the lumbosacral inversion point ILS
LB Sagittal left knee angle	Left knee angle in the sagittal plane formed by the LHip-LKnee-LAnk points
LB Sagittal right knee angle	Right knee angle in the sagittal plane formed by the LHip-LKnee-LAnk points

ID Examen 0027 - New exam title

Paciente
Nr2 FullBody

ID del Paciente
0019

Fecha de Nacimiento
21/09/2019

Sexo
Masculino

Altura
444 cm

Peso
32 kg

Contactos

Fecha del examen
21/09/2023



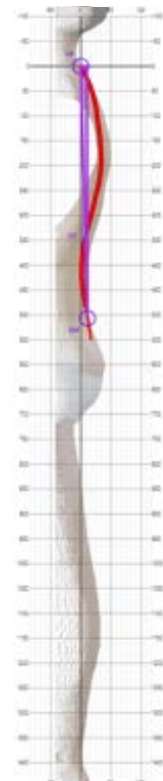
Color texture - Coronal



Concavity texture - Right 45°



*Longitud de la columna VPDM 507 mm (N.R. [470 mm, 530 mm])



Inclinación de la columna VPDM 1,47 ° (N.R. [-5,00 ° , 5,00 °])

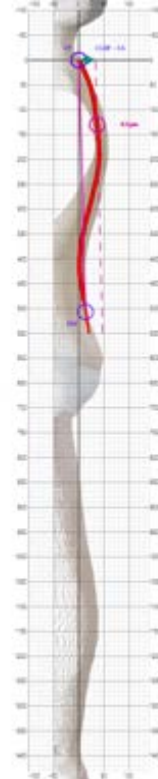
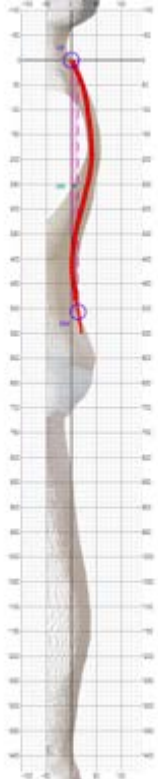
ID Examen 0027 - New exam title

Paciente
Nr2 FullBody
Altura
444 cm

ID del Paciente
0019
Peso
32 kg

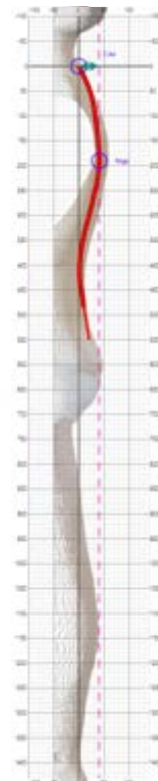
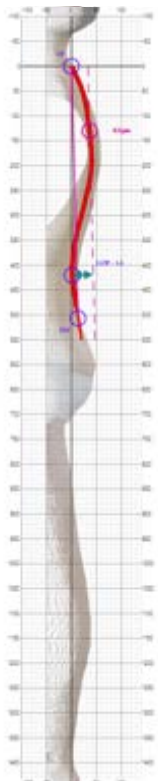
Fecha de Nacimiento
21/09/2019
Contactos

Sexo
Masculino
Fecha del examen
21/09/2023



*Desequilibrio sagital de VPDM 13 mm (N.R. [-37 mm, 37 mm])

*Profundidad de lordosis cervical CA- || KA 33 mm



*Lordosis lumbar LA-||KA 42 mm

*Flecha cervical CArr 40 mm (N.R. [47 mm, 60 mm])

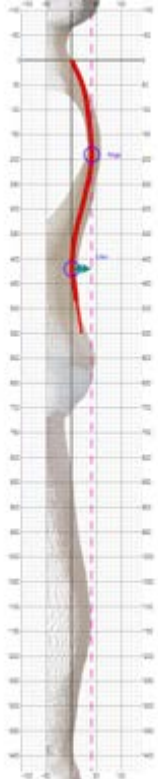
ID Examen 0027 - New exam title

Paciente
Nr2 FullBody
Altura
444 cm

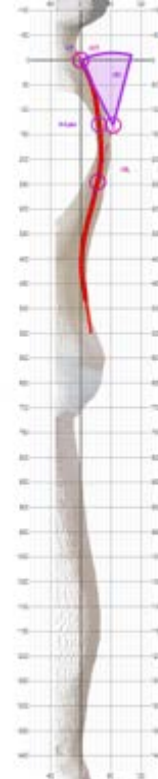
ID del Paciente
0019
Peso
32 kg

Fecha de Nacimiento
21/09/2019
Contactos

Sexo
Masculino
Fecha del examen
21/09/2023



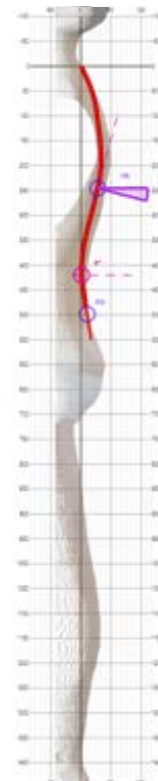
*Flecha lumbar LArr 39 mm (N.R. [31 mm, 48 mm])



Ángulo cifótico ICT ITL 40,94 ° (N.R. [41,00 °, 54,00 °])



Ángulo lordótico ITL ILS 25,66 ° (N.R. [26,00 °, 42,00 °])



Trunk tilt angle ITL -14,98 °

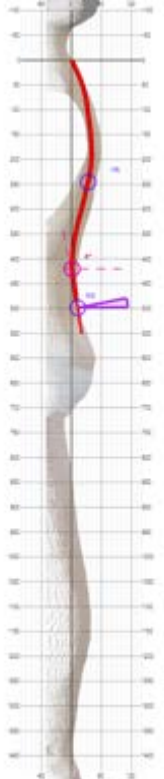
ID Examen 0027 - New exam title

Paciente
Nr2 FullBody
Altura
444 cm

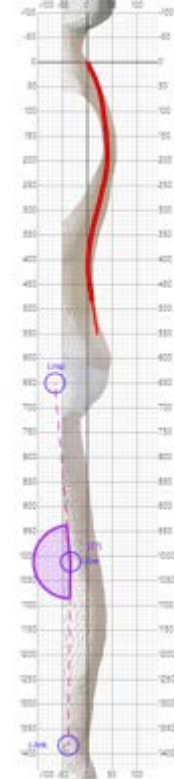
ID del Paciente
0019
Peso
32 kg

Fecha de Nacimiento
21/09/2019
Contactos

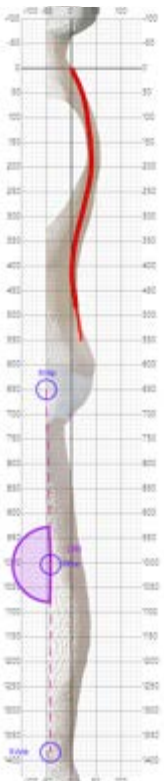
Sexo
Masculino
Fecha del examen
21/09/2023



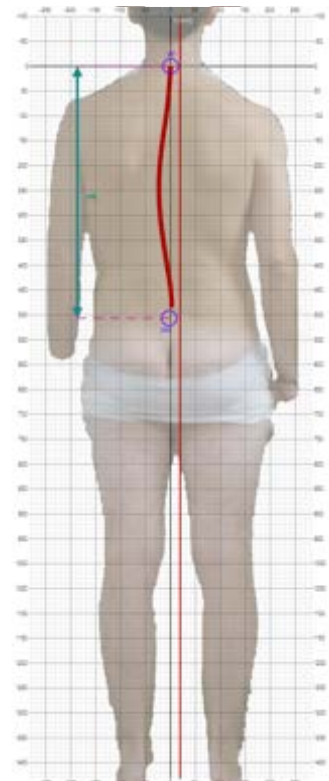
Trunk tilt angle ILS 10,69 °



LB Sagittal left knee angle -174,34 °



LB Sagittal right knee angle -178,57 °



*Longitud del tronco VPDM 507 mm (N.R. [470 mm, 530 mm])

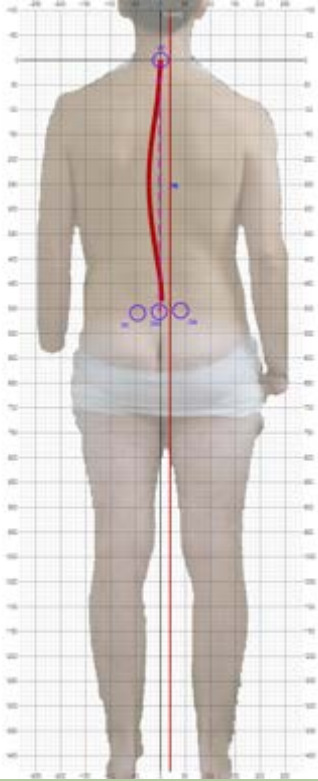
ID Examen 0027 - New exam title

Paciente
Nr2 FullBody
Altura
444 cm

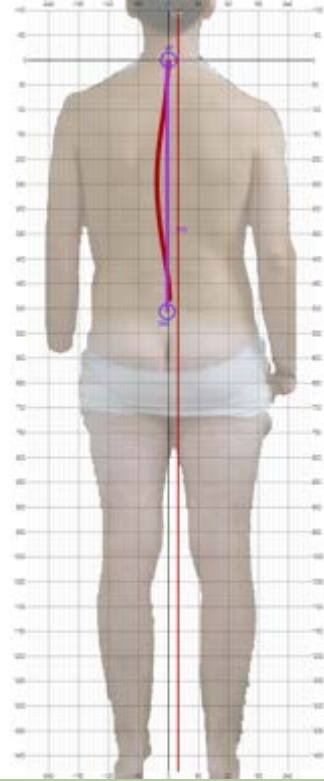
ID del Paciente
0019
Peso
32 kg

Fecha de Nacimiento
21/09/2019
Contactos

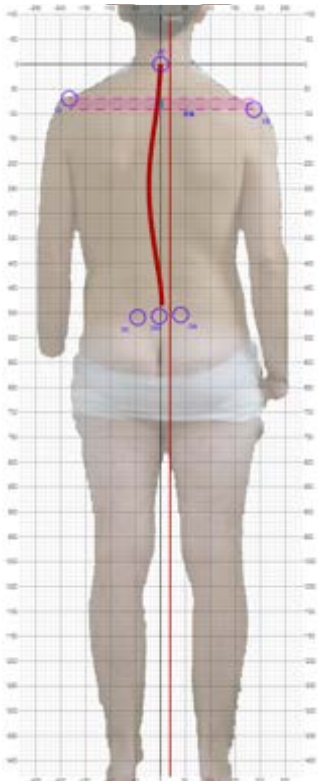
Sexo
Masculino
Fecha del examen
21/09/2023



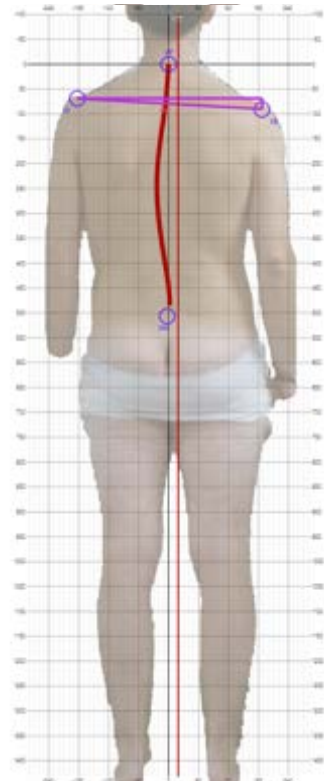
*Desequilibrio Coronal VPDM 3 mm (N.R. [-7 mm, 7 mm])



Desequilibrio tronco VPDM -0,33 ° (N.R. [-1,00 ° , 1,00 °])



*Oblicuidad hombros SLSR -22 mm (N.R. [-13 mm, 13 mm])



Inclinación hombros SLSR -3,40 ° (N.R. [-2,00 ° , 2,00 °])

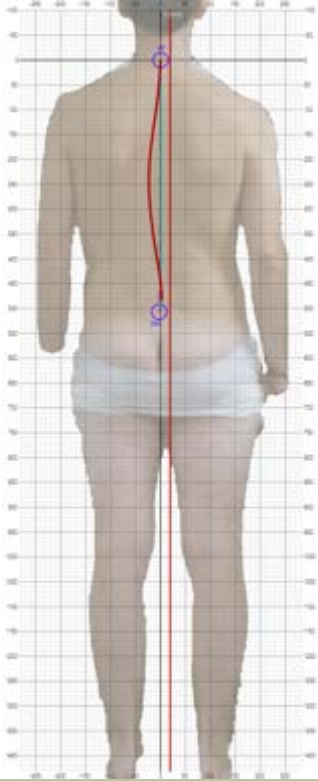
ID Examen 0027 - New exam title

Paciente
Nr2 FullBody
Altura
444 cm

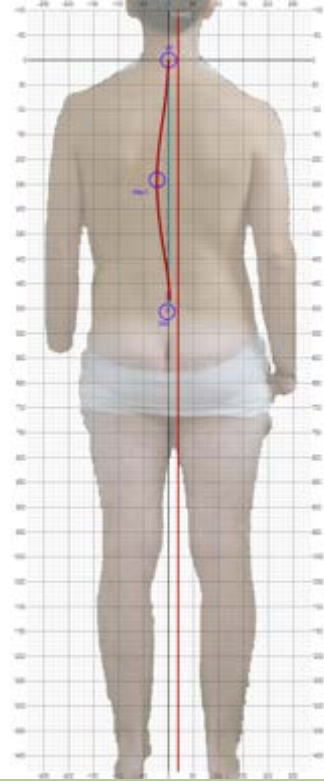
ID del Paciente
0019
Peso
32 kg

Fecha de Nacimiento
21/09/2019
Contactos

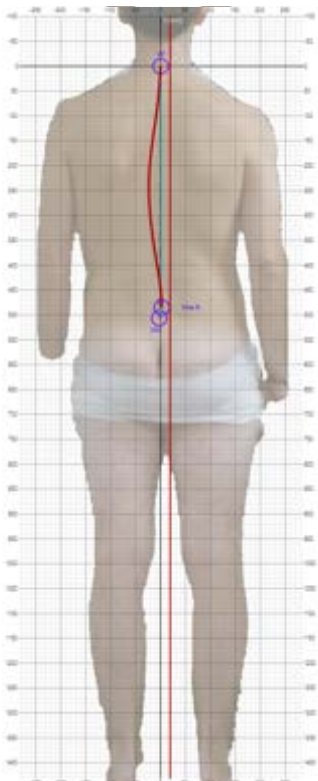
Sexo
Masculino
Fecha del examen
21/09/2023



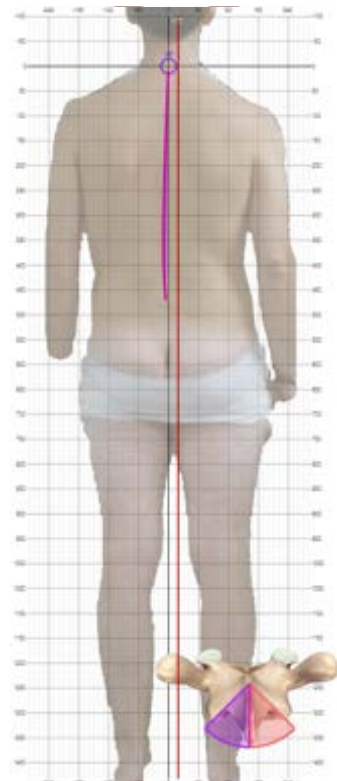
*Desviación vertebral RMS 14 mm



*Vertebral deviation max left (-) -22 mm



*Vertebral deviation max right (+) 5 mm



Superficie de rotación RMS 7,73 °

ID Examen 0027 - New exam title

Paciente
Nr2 FullBody

ID del Paciente
0019

Fecha de Nacimiento
21/09/2019

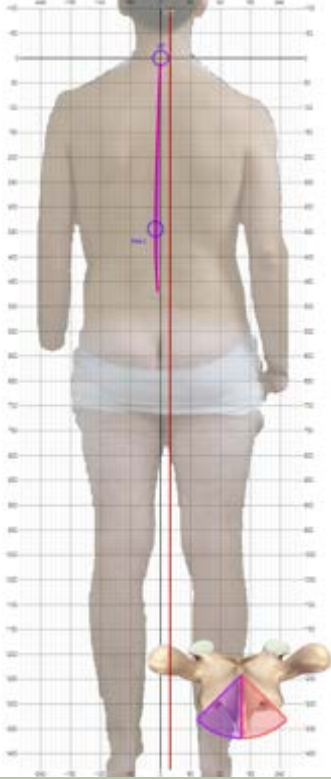
Sexo
Masculino

Altura
444 cm

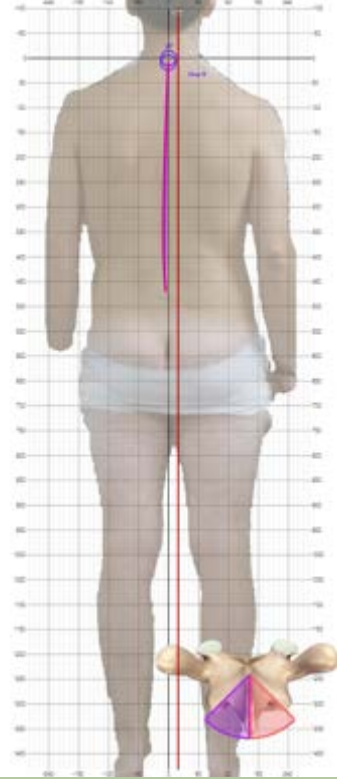
Peso
32 kg

Contactos

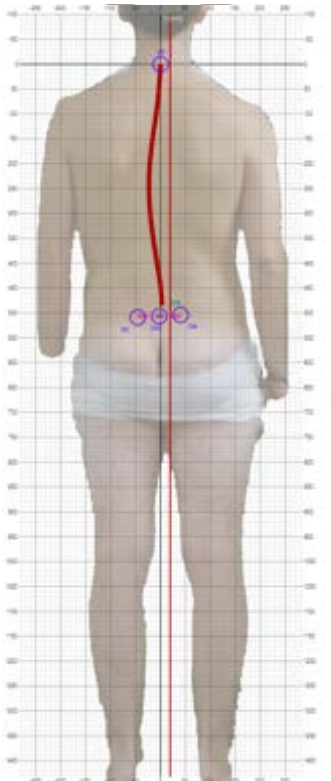
Fecha del examen
21/09/2023



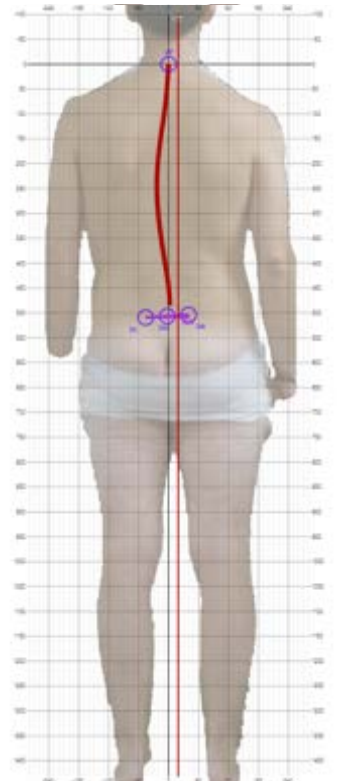
Surface rotation max left (-) -10,47 °



Surface rotation Max Right (+) -0,62 °



*Oblicuidad pélvica DLDR 5 mm (N.R. [-5 mm, 5 mm])



Inclinación pélvica DLDR 3,33 ° (N.R. [-2,00 °, 2,00 °])

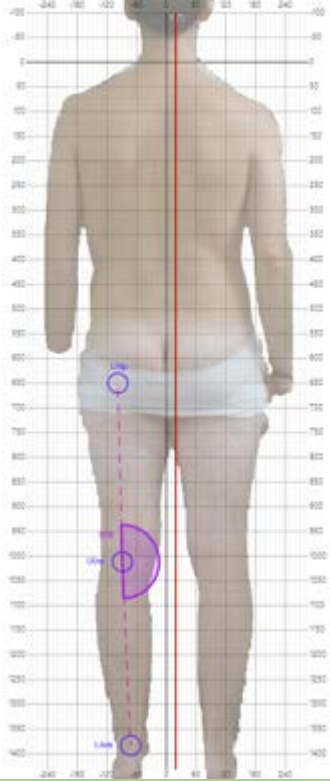
ID Examen 0027 - New exam title

Paciente
Nr2 FullBody
Altura
444 cm

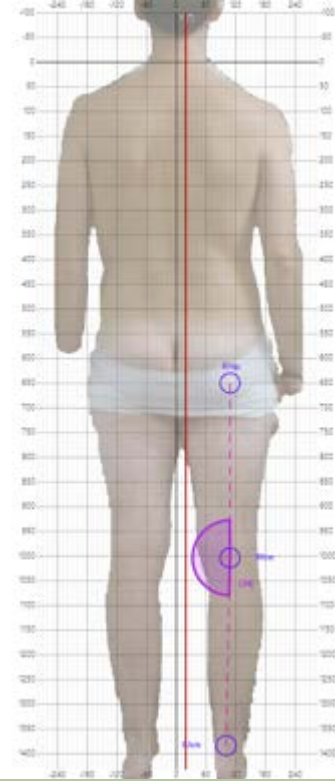
ID del Paciente
0019
Peso
32 kg

Fecha de Nacimiento
21/09/2019
Contactos

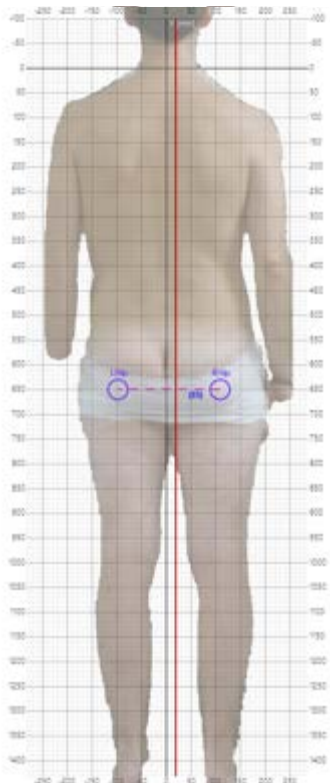
Sexo
Masculino
Fecha del examen
21/09/2023



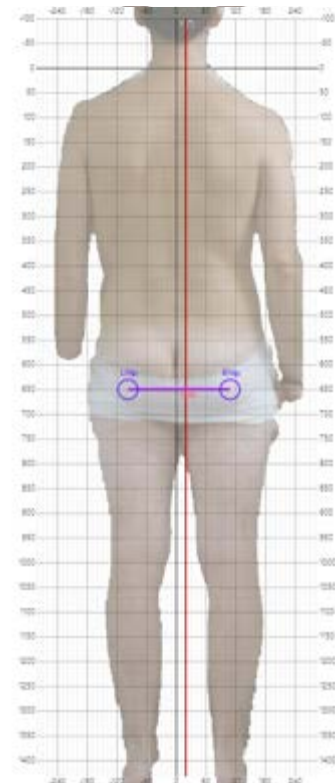
LB Coronal left knee angle -178,81 °



LB Coronal right knee angle -178,80 °



*LB Hip obliquity 0 mm



LB Hip tilt 0,00 °

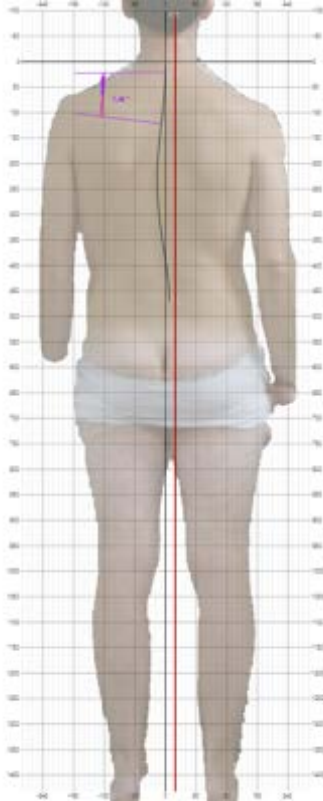
ID Examen 0027 - New exam title

Paciente
Nr2 FullBody
Altura
444 cm

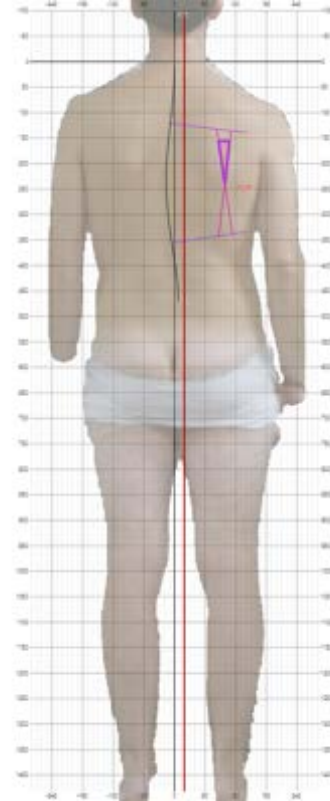
ID del Paciente
0019
Peso
32 kg

Fecha de Nacimiento
21/09/2019
Contactos

Sexo
Masculino
Fecha del examen
21/09/2023



*Bending angle [T2 - T6] Toracic 7,46 °



*Bending angle [T5 - L1] TorsoLumbar 15,22 °

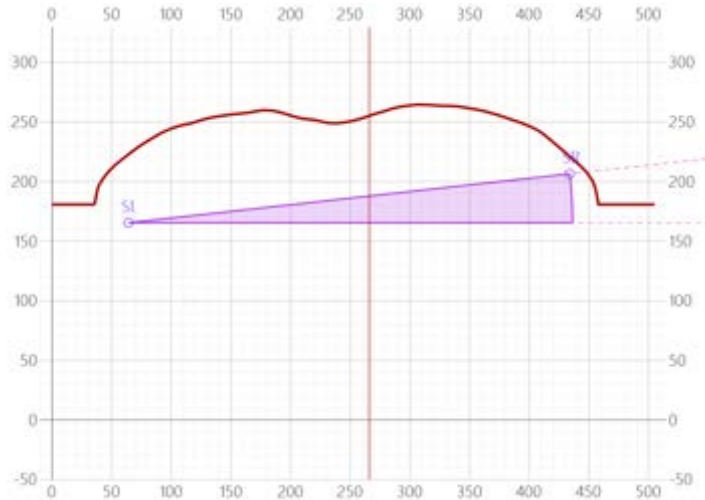
ID Examen 0027 - New exam title

Paciente
Nr2 FullBody
Altura
444 cm

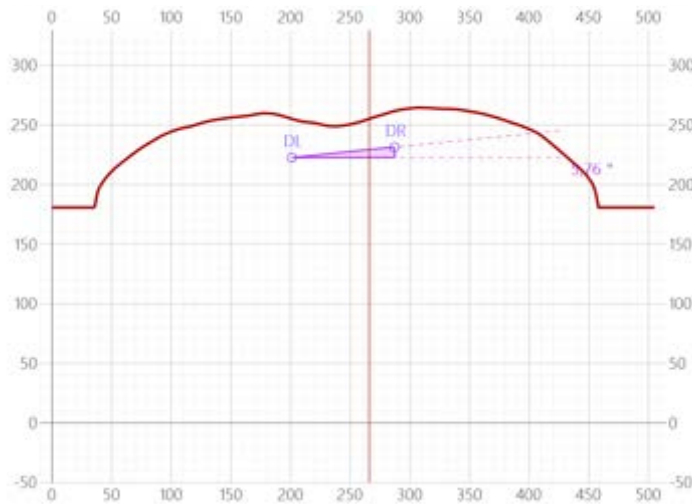
ID del Paciente
0019
Peso
32 kg

Fecha de Nacimiento
21/09/2019
Contactos

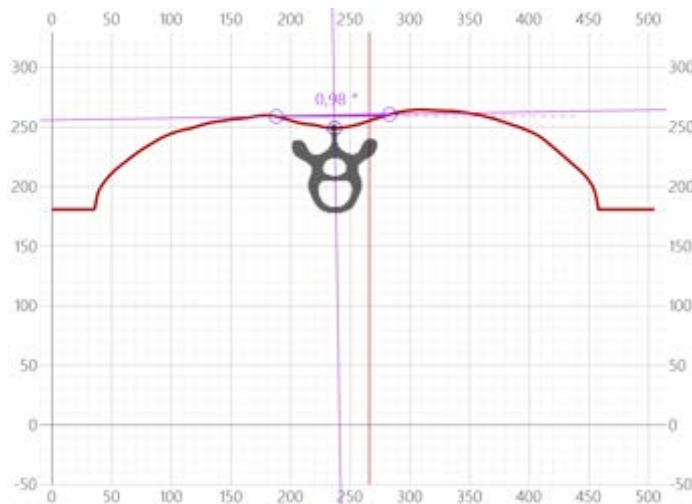
Sexo
Masculino
Fecha del examen
21/09/2023



Rotación hombros SLSR 6,33 ° (N.R. [-2,00 ° , 2,00 °])



Pelvis torsion DLDR 5,76 ° (N.R. [-2,00 ° , 2,00 °])



[L2] Paramedian line 6,30 °

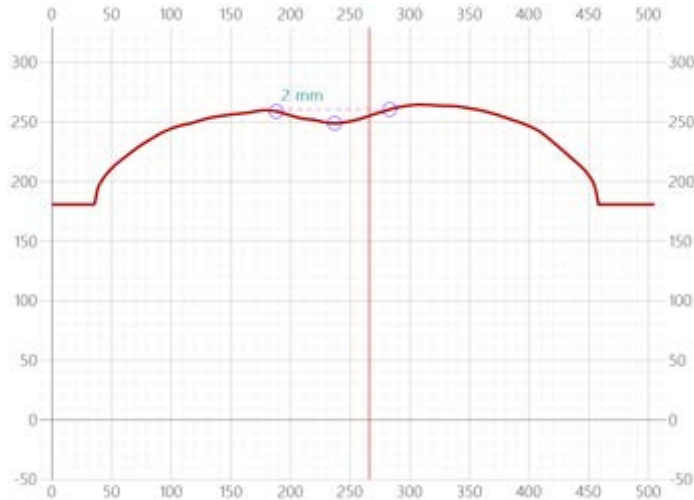
ID Examen 0027 - New exam title

Paciente
Nr2 FullBody
Altura
444 cm

ID del Paciente
0019
Peso
32 kg

Fecha de Nacimiento
21/09/2019
Contactos

Sexo
Masculino
Fecha del examen
21/09/2023



[L2] *Paramedian deep 11 mm



[L3] Paramedian LMS line 5,58 °



[T12] Tangent line 6,01 °

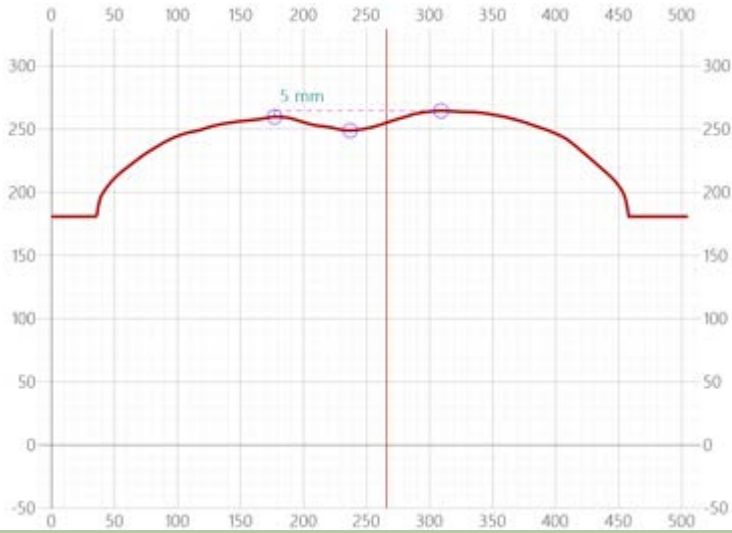
ID Examen 0027 - New exam title

Paciente
Nr2 FullBody
Altura
444 cm

ID del Paciente
0019
Peso
32 kg

Fecha de Nacimiento
21/09/2019
Contactos

Sexo
Masculino
Fecha del examen
21/09/2023



[T11] *Tangent deep 19 mm

ID Examen 0027 - New exam title

Paciente Nr2 FullBody	ID del Paciente 0019	Fecha de Nacimiento 21/09/2019	Sexo Masculino
Altura 444 cm	Peso 32 kg	Contactos	Fecha del examen 21/09/2023

Reporte

Examen de la columna vertebral del paciente Nr2 FullBody. El paciente tiene 5 años, 175 cm de altura y pesa 70 kg.

Los hombros se ven asimétricos con una inclinación de $-3,40^\circ$ entre los puntos detectados del hombro izquierdo SL y el hombro derecho SR, una oblicuidad de -22 mm y una rotación de $6,33^\circ$ en el eje vertical.

La medición tomada desde la vértebra prominente VP hasta el punto medio entre las fosas sacras DM, detectó una longitud total del tronco de 507 mm, mostrando una inclinación antero-posterior de $1,47^\circ$ y un desbalance dorso-lateral de $-0,33^\circ$. Hay un desbalance coronal neutral de 3 mm.

El ángulo cifótico detectado de $40,94^\circ$ parece ser más pequeño de lo normal, like the lordotic angle of $25,66^\circ$.

La flecha cervical de 40 mm está por detrás con respecto al rango de parámetros normales, mientras que la flecha lumbar de 39 mm parece normal.

En el área pélvica, las fosas sacras DL y DR parecen tener una oblicuidad natural de 5 mm, con una inclinación de $3,33^\circ$. La rotación pélvica de $5,76^\circ$ es mucho más alta respecto a los parámetros normales.

ID Examen 0027 - New exam title

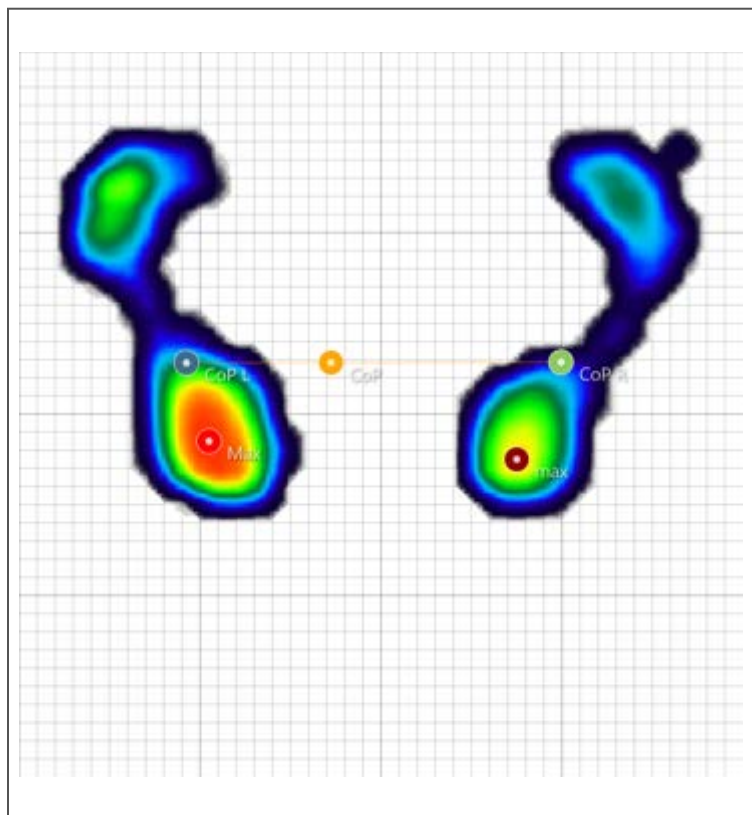
Paciente Nr2 FullBody	ID del Paciente 0019	Fecha de Nacimiento 21/09/2019	Sexo Masculino
Altura 444 cm	Peso 32 kg	Contactos	Fecha del examen 21/09/2023

Notas del Examen

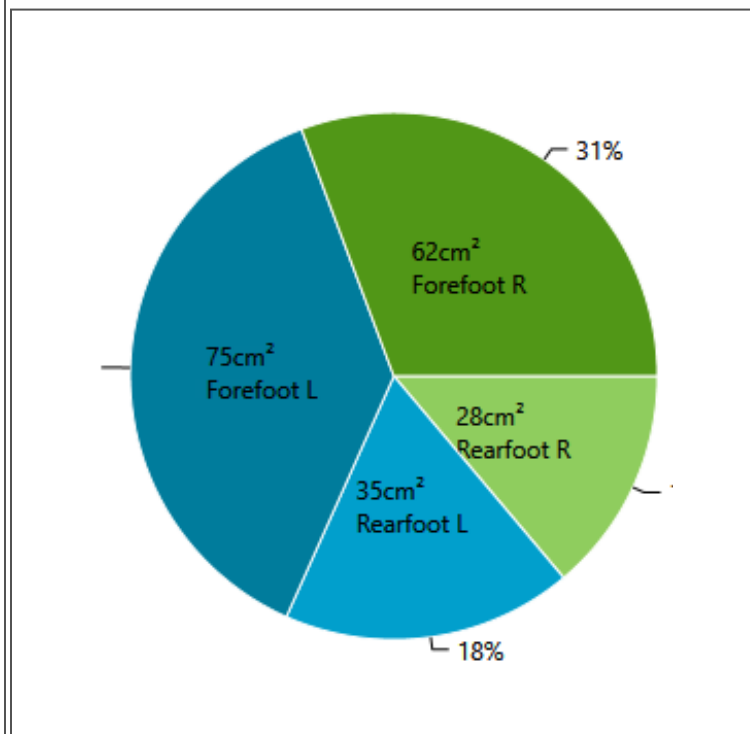
ID Examen 0027 - New exam title

Paciente Nr2 FullBody	ID del Paciente 0019	Fecha de Nacimiento 21/09/2019	Sexo Masculino
Altura 444 cm	Peso 32 kg	Contactos	Fecha del examen 21/09/2023

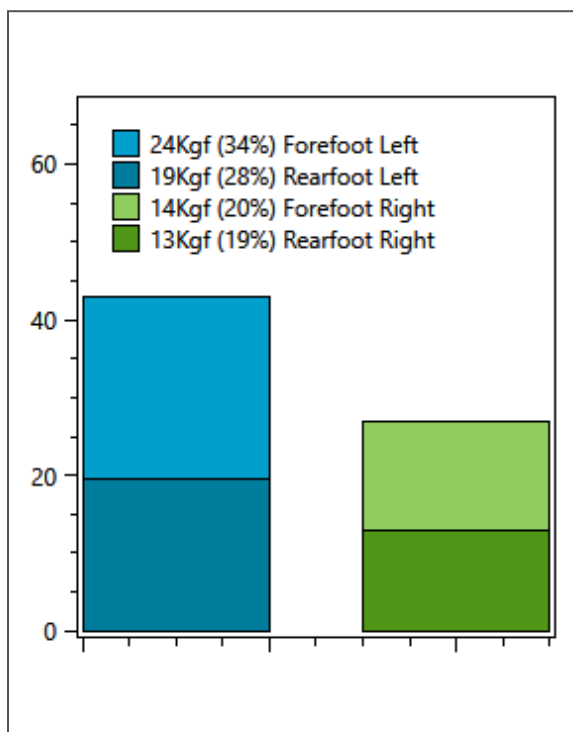
Reporte



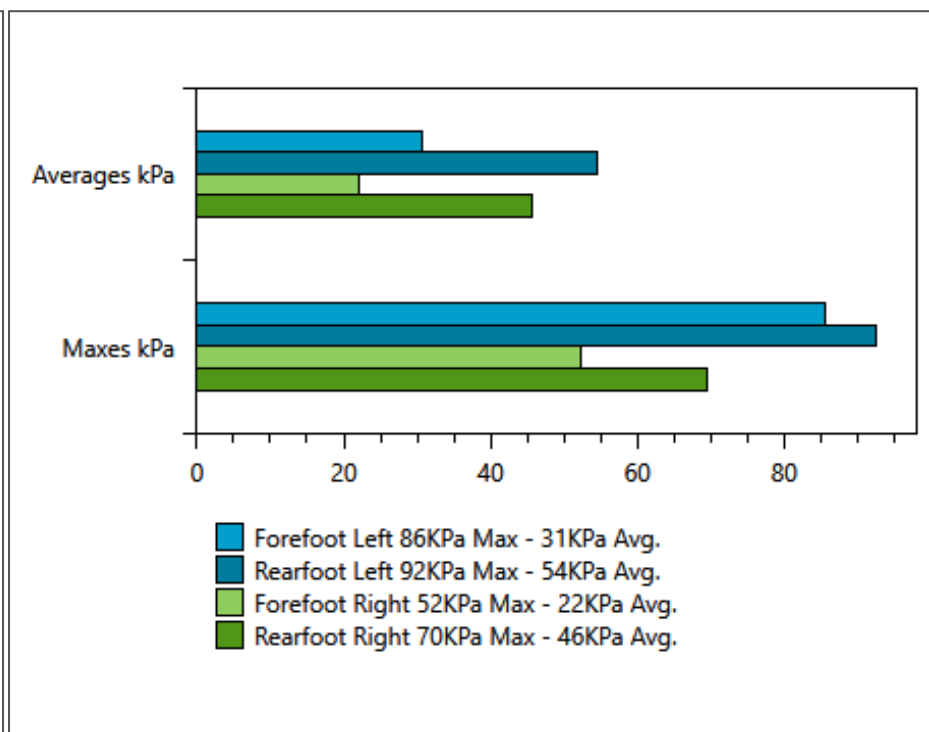
Surface distribution



Load distribution



Average pressure and maximum peeks



ID Examen 0027 - New exam title

Paciente
Nr2 FullBody

ID del Paciente
0019

Fecha de Nacimiento
21/09/2019

Sexo
Masculino

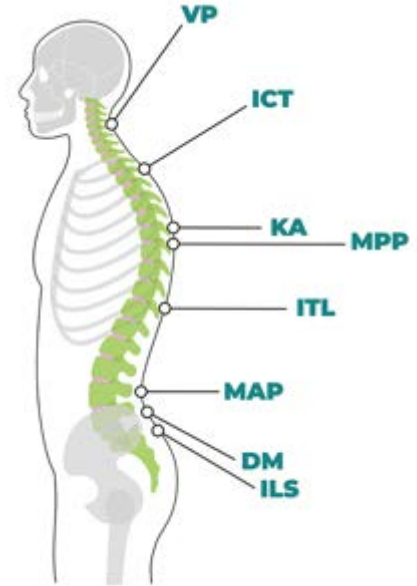
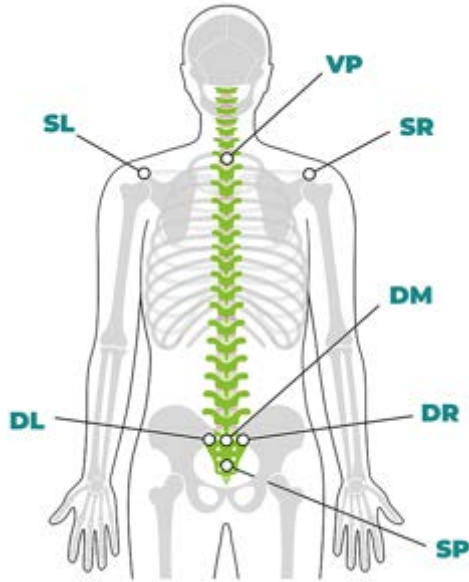
Altura
444 cm

Peso
32 kg

Contactos

Fecha del examen
21/09/2023

Repere



Glossary

VP	Vertebra Prominens	Map	Most anterior point
DL	Left dimple	CLDP	Cervical lordosis depth point
DR	Right dimple	LLDP	Lumbar lordosis depth point
DM	Midpoint between DL and DR	CA	Cervical apex
SP	Sacrum point	LA	Lumbar apex
KApex	Kyphotic apex	CArr	Flèche cervicale
LApex	Lordotic apex	LArr	Flèche lombaire
ICT	Cervicothoracic joint	LAX	Left axilla
ITL	Thoracolumbar joint	RAX	Right Axilla
ILS	Lumbosacral joint	LS	Left Scapula
SL	Left acromion	RS	Right Scapula
SR	Right acromion	LT	Left size triangle
Mpp	Most posterior point	RT	Right size triangle

ID Examen 0027 - New exam title

Paciente
Nr2 FullBody

ID del Paciente
0019

Fecha de Nacimiento
21/09/2019

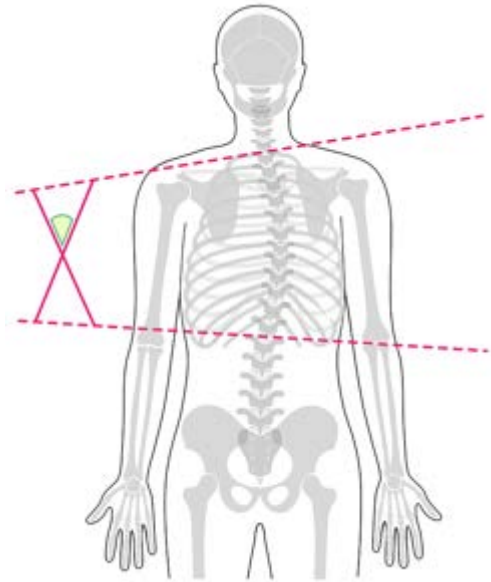
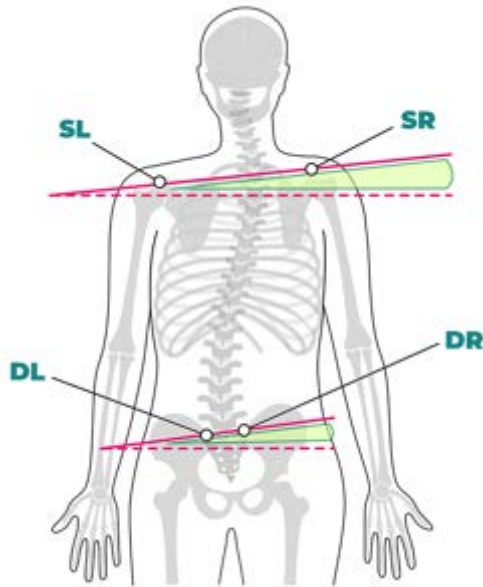
Sexo
Masculino

Altura
444 cm

Peso
32 kg

Contactos

Fecha del examen
21/09/2023



Coronal parameters

Longitud del tronco VPDM	Length of the segment joining VP and DM
Desequilibrio Coronal VPDM	Distance between DM and the vertical passing through VP
Desequilibrio tronco VPDM	The angle between the joining of VP and DM and the vertical axis
Oblicuidad hombros SLSR	Distance between the horizontal axis passing through SL and the horizontal axis passing through SR
Inclinación hombros SLSR	The angle between SL and SR on the coronal plane
Desviación vertebral RMS	In the coronal plane, squared mean of the horizontal lateral deviation of the centres of the vertebral bodies with respect to the VP-DM connection line
Vertebral deviation max left (-)	Convexity to the left
Vertebral deviation max right (+)	Convexity to the right
Superficie de rotación RMS	Squared mean of the angles between the straight line passing through the centre of the vertebra and the apex of the corresponding spinous process, and the perpendicular to the coronal plane
Surface rotation max left (-)	The leftmost angle of the Surface Rotation curve
Surface rotation Max Right (+)	The rightmost angle of the Surface Rotation curve
Oblicuidad pélvica DLDR	Distance between the horizontal axis passing through DL and the horizontal axis passing through DR
Inclinación pélvica DLDR	The angle between DL and DR on the coronal plane
Bending angle	The angle between the two tangents of the upper endplate of the upper vertebra and the lower endplate of the lower vertebra, in a structural curve of the spine
LB Coronal left knee angle	Left knee angle on the coronal plane formed by the LHip-LKnee-LAnk points
LB Coronal right knee angle	Right knee angle on the coronal plane formed by the RHip-RKnee-RAnk points
LB Hip obliquity	Angle between LHip and RHip in the coronal plane

ID Examen 0027 - New exam title

Paciente
Nr2 FullBody

ID del Paciente
0019

Fecha de Nacimiento
21/09/2019

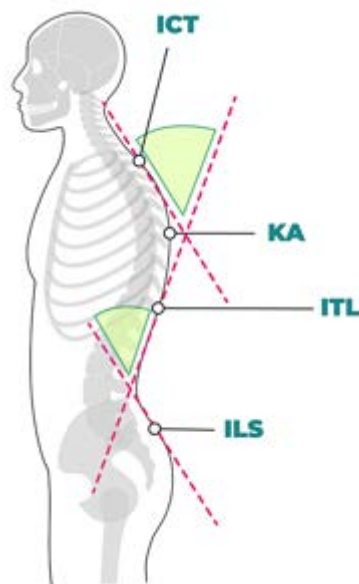
Sexo
Masculino

Altura
444 cm

Peso
32 kg

Contactos

Fecha del examen
21/09/2023



Sagittal parameters

Longitud de la columna VPDM	Length of the segment joining VP and DM
Inclinación de la columna VPDM	Angle between the straight line through VP-DM and the vertical plane
Desequilibrio sagital de VPDM	Horizontal distance, along the sagittal plane, between VP and the vertical passing through DM
Profundidad de lordosis cervical CA- KA	Distance between CA (cervical apex) and the tangent to KA (kyphotic apex) which is parallel to the VPDM line
Lordosis lumbar LA- KA	Distance between LA (lumbar apex) and the tangent to KA (kyphotic apex) which is parallel to the VPDM line
Flecha cervical CArr	Sagittal distance between the lowest point of the cervical spine and the virtual vertical plumb line
Flecha lumbar LArr	Sagittal distance between the lowest point of the lumbar spine and the virtual vertical plumb line
Ángulo cifótico ICT ITL	Upper angle formed by the tangents to the surface in ICT and ITL
Ángulo lordótico ITL ILS	Upper angle formed by the tangents to the surface in ITL and ILS
Trunk tilt angle ITL	The angle of trunk tilt at the thoracolumbar inversion point ITL
Trunk tilt angle ILS	The angle of trunk tilt at the lumbosacral inversion point ILS
LB Sagittal left knee angle	Left knee angle in the sagittal plane formed by the LHip-LKnee-LAnk points
LB Sagittal right knee angle	Right knee angle in the sagittal plane formed by the LHip-LKnee-LAnk points

Date:

March 25th, 2025



Declaration of Conformity Regulation (EU) 2017/745

Trade Mark: SPINE 3D**Part Number:** PSP3001**Manufacturer:** Sensor Medica Srl - Via Bruno Pontecorvo, 13
00012 Guidonia Montecelio - Rome (Italy)**Product:** Biometric imaging processor**Intended Use:** Non-invasive 3D scanning system for postural
analysis**Basic UDI-DI:** 8052015180019SY**Class:** Class I

Technical report and documentation are at the applicant's disposal. Declares under its responsibility that the above-mentioned device complies 2017/745 European Community Regulation.

Andrea Olivi
Sensor Medica Srl CEO

SENSOR MEDICA S.r.l.
Via Bruno Pontecorvo, 13
00012 Guidonia Montecelio (RM)
P.Iva 11439101008

A handwritten signature in blue ink, appearing to read "A. Olivi", is written over the printed company name and address.

Company with certified quality
management system N° 5010016690



Sensor Medica Srl - Via B. Pontecorvo, 13
00012 Guidonia Montecelio (Rome) - Italy



(+34) 918 279 338

info@ortomecanica.com

www.ortomecanica.com

Calle Laguna 64 Madrid - Spain